

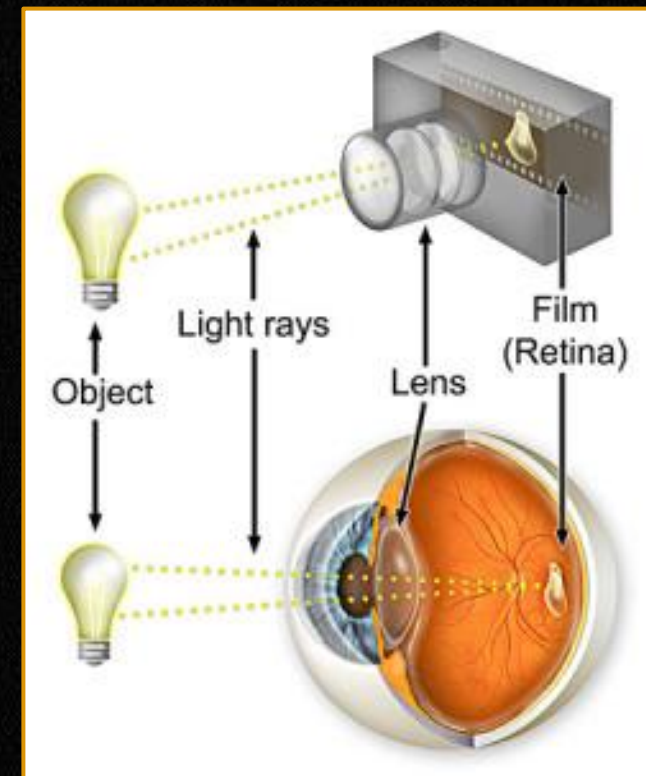
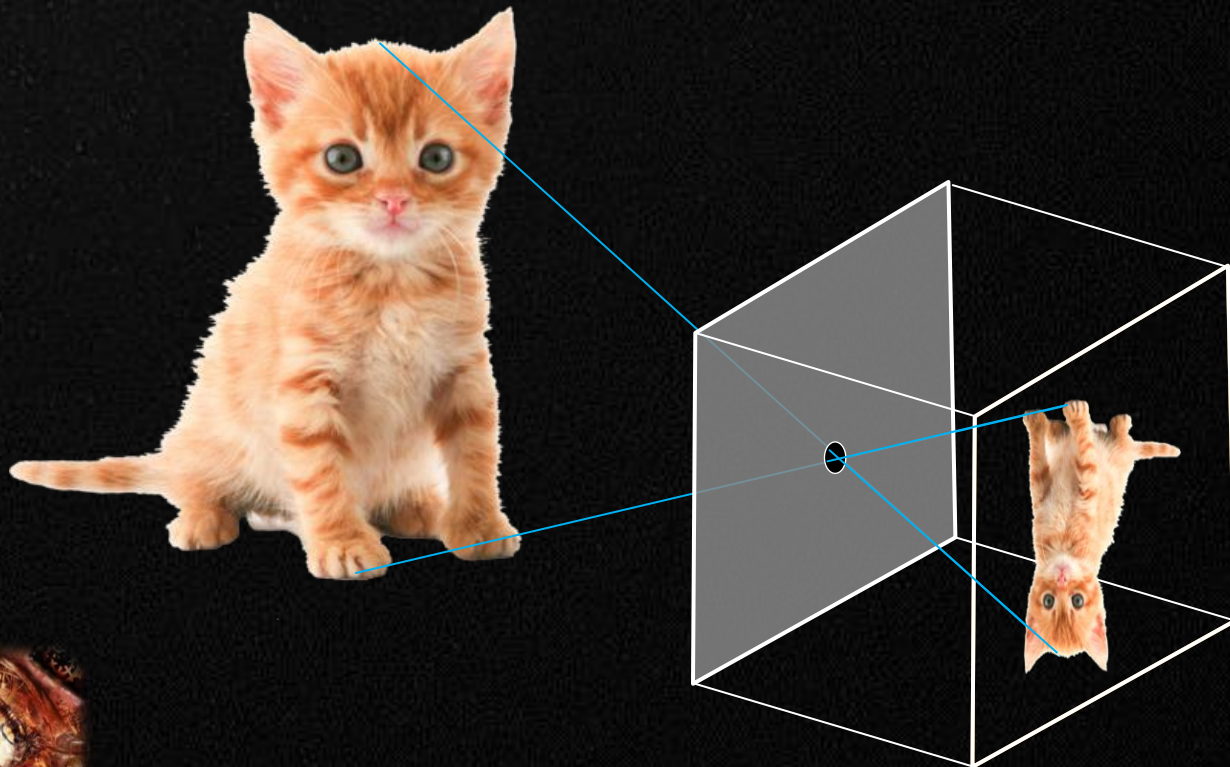
Formazione immagini e calibrazione telecamera

17634 | VISIONE ARTIFICIALE



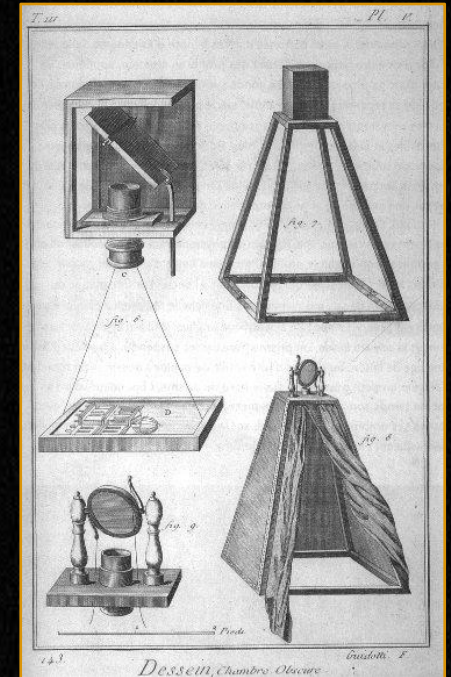
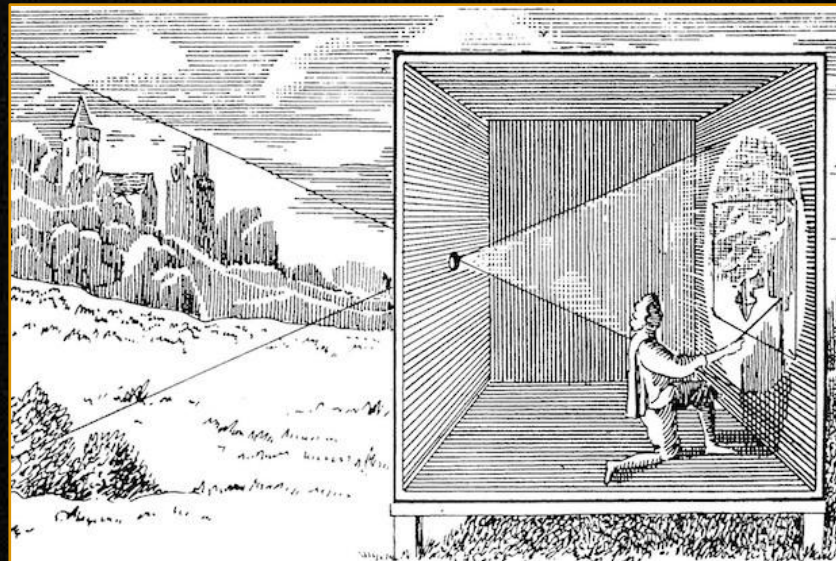
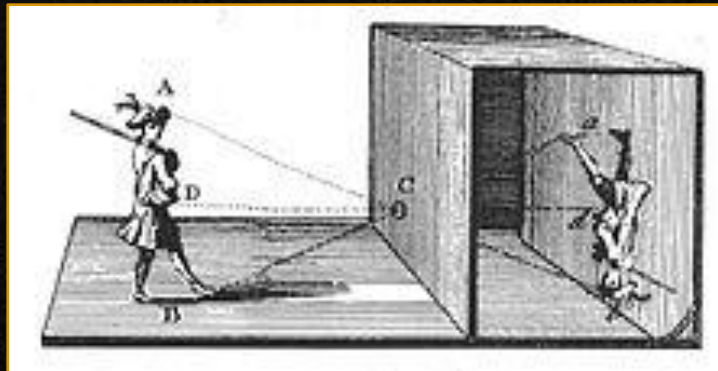
Formazione delle immagini

- Il processo di formazione delle immagini è dovuto a **raggi di luce** che entrano in un sistema ottico e colpiscono un **sensore (piano immagine)**:
 - Nell'**occhio umano** il sistema ottico è il **cristallino**, il piano immagine la **retina**;
 - In una **fotocamera** il sistema ottico è la **lente**, il piano immagine il **sensore** digitale.



Stenoscopia e camera oscura

- ▶ Utilizzo di un **foro stenopeico** (dal greco *stenos opaios*, stretto foro) capace di proiettare la luce creando un'immagine.
 - **Camera oscura**: una stanza completamente buia con un foro su un lato e un pittore all'interno che copia l'immagine proiettata.
 - La scoperta della camera oscura risale almeno al V secolo a.C., sulla base di descrizioni del fenomeno presenti in testi cinesi e greci dell'epoca.
- ▶ Fotocamere odierne: evoluzione di questa antica tecnica (il nome inglese "camera" deriva dal latino "camera obscura").



Camera oscura involontaria

4

- ▶ Nella foto (Castel Grande di Bellinzona, Svizzera): effetto "camera oscura" sulla parete opposta ad alcune feritoie
- ▶ Si possono intravedere i tetti rossi delle case e le chiome verdi degli alberi



Appartamento trasformato in camera oscura

5

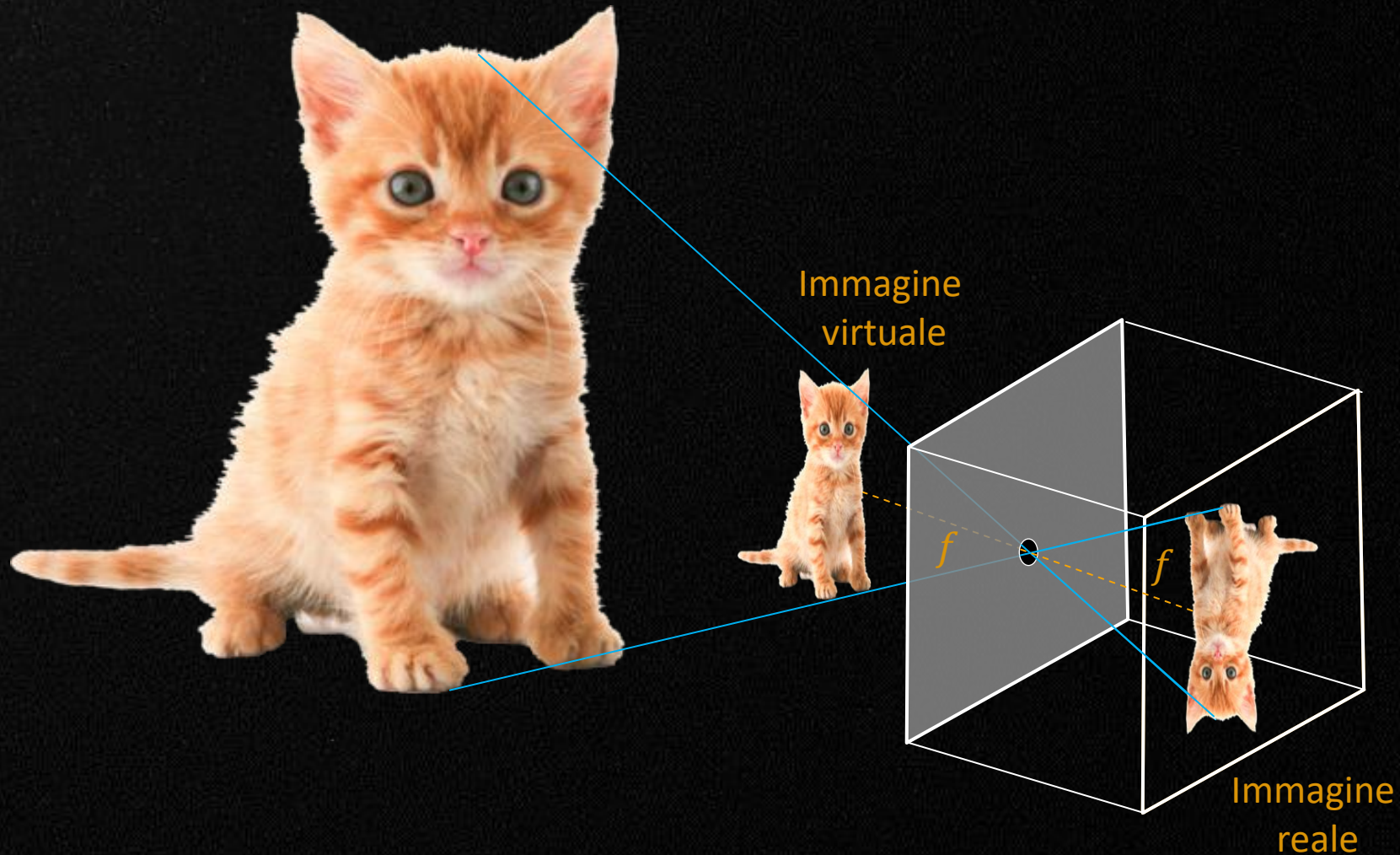


Fonte: <http://stenop.es>



Immagine virtuale

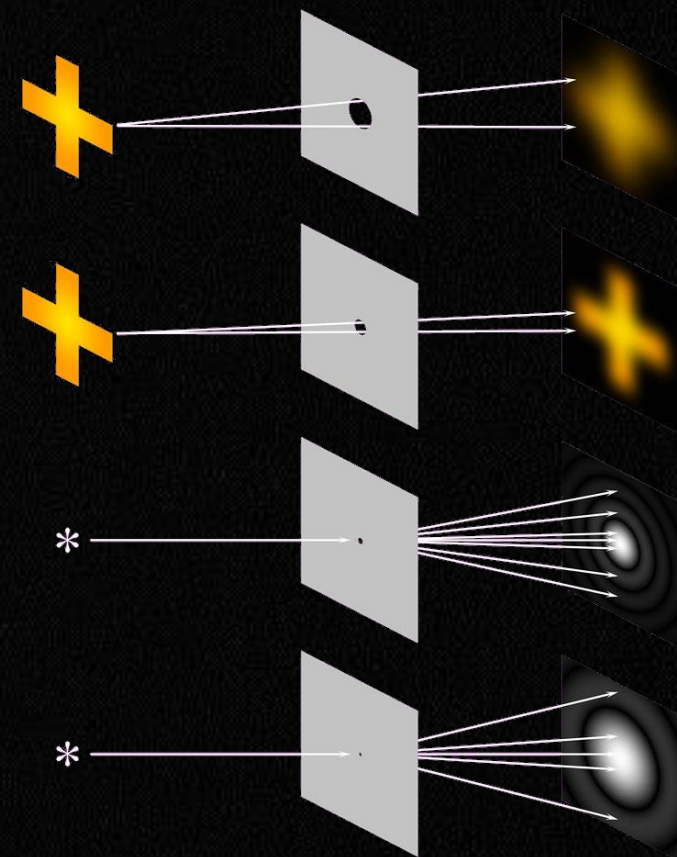
- È equivalente (e può essere più comodo) considerare l'immagine (non rovesciata), simmetrica rispetto al foro.



Dal foro alla lente

7

- ▶ Per ottenere un'immagine ben a fuoco, il foro dovrebbe essere molto piccolo, affinché ogni punto della scena possa influire su un solo punto del piano immagine.
- ▶ D'altra parte, per "memorizzare" l'immagine su una superficie sensibile alla luce sarebbe necessario un foro non troppo piccolo.
- ▶ Rimpicciolendo il foro:
 - Immagine più a fuoco ma 1) quantità di luce insufficiente, 2) fenomeni di diffrazione
- ▶ Allargando il foro:
 - Maggiore quantità di luce ma immagine sfocata.
- ▶ Come permettere l'ingresso di più luce, mantenendo il vincolo secondo cui ogni punto della scena deve influire solo su di un punto del piano immagine?
- ▶ La soluzione più semplice consiste nell'utilizzare una "lente sottile" (di spessore trascurabile)



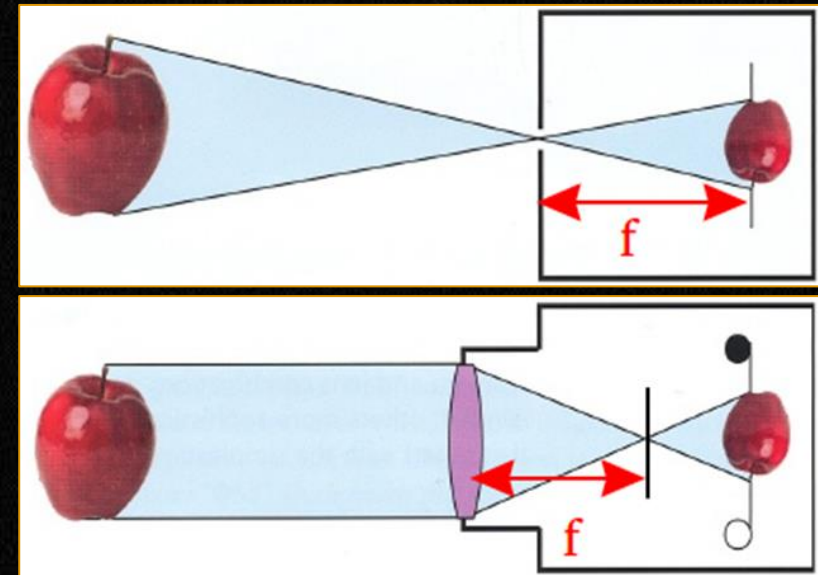
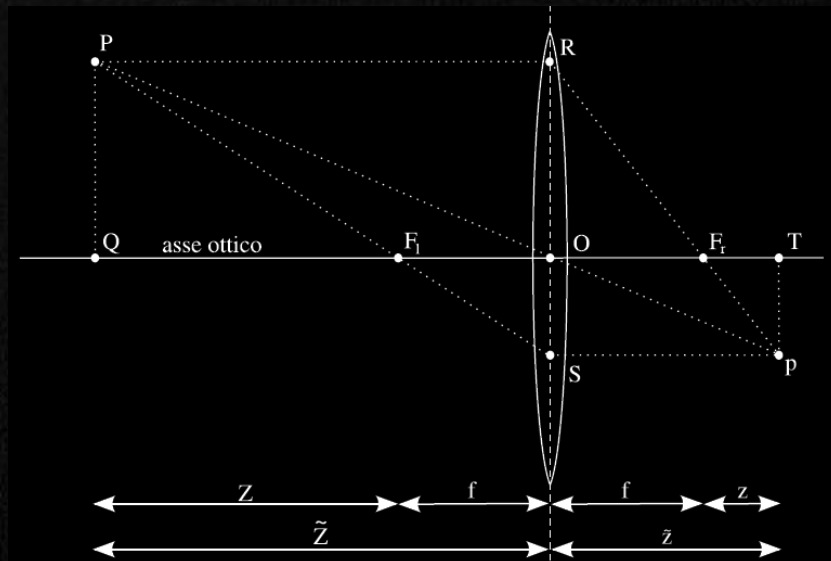
Lenti sottili

► Fuochi F_l e F_r :

- Due punti esterni al corpo della lente situati sull'asse ottico a una certa distanza dal centro O .
- Assumiamo per semplicità che F_l e F_r abbiano la stessa distanza f da O (lunghezza focale).

► Proprietà:

- ogni raggio di luce che entra parallelamente all'asse ottico è deviato verso l'altro fuoco;
- ogni raggio che entra da un lato passando per il fuoco esce parallelamente all'asse ottico;
- ogni raggio che passa dal centro della lente mantiene la sua direzione.

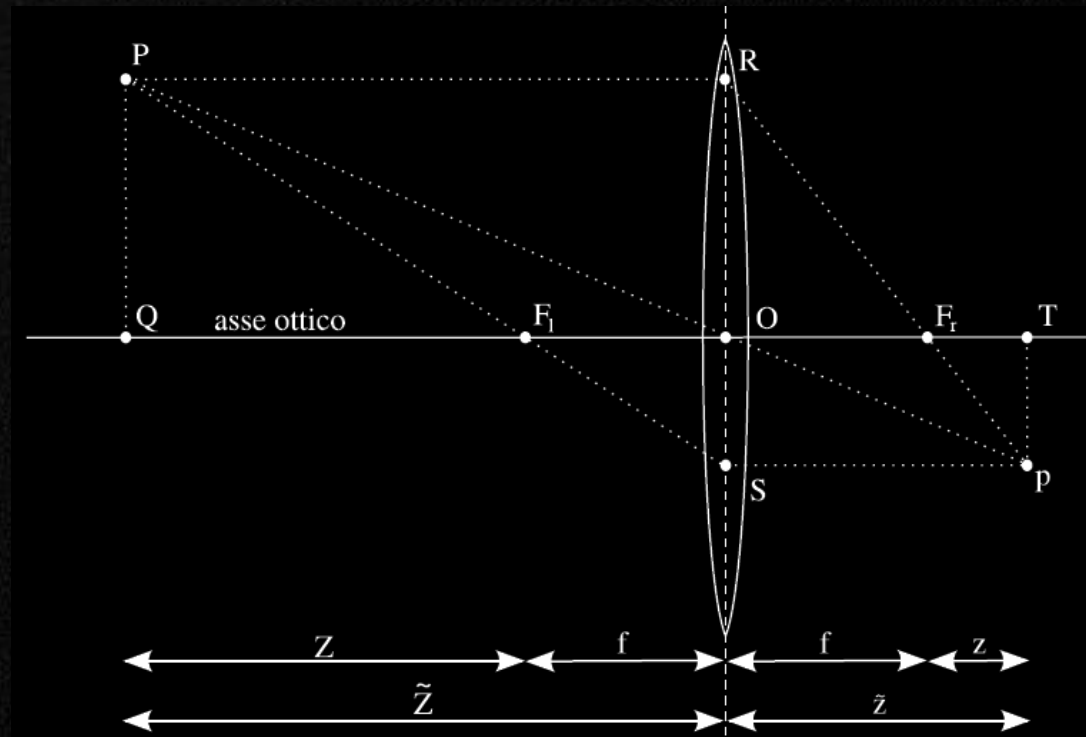


Equazione fondamentale delle lenti sottili

- Date le distanze \tilde{Z} fra lente e oggetto e \tilde{z} fra lente e immagine, si ha:

$$\frac{1}{\tilde{Z}} + \frac{1}{\tilde{z}} = \frac{1}{f}$$

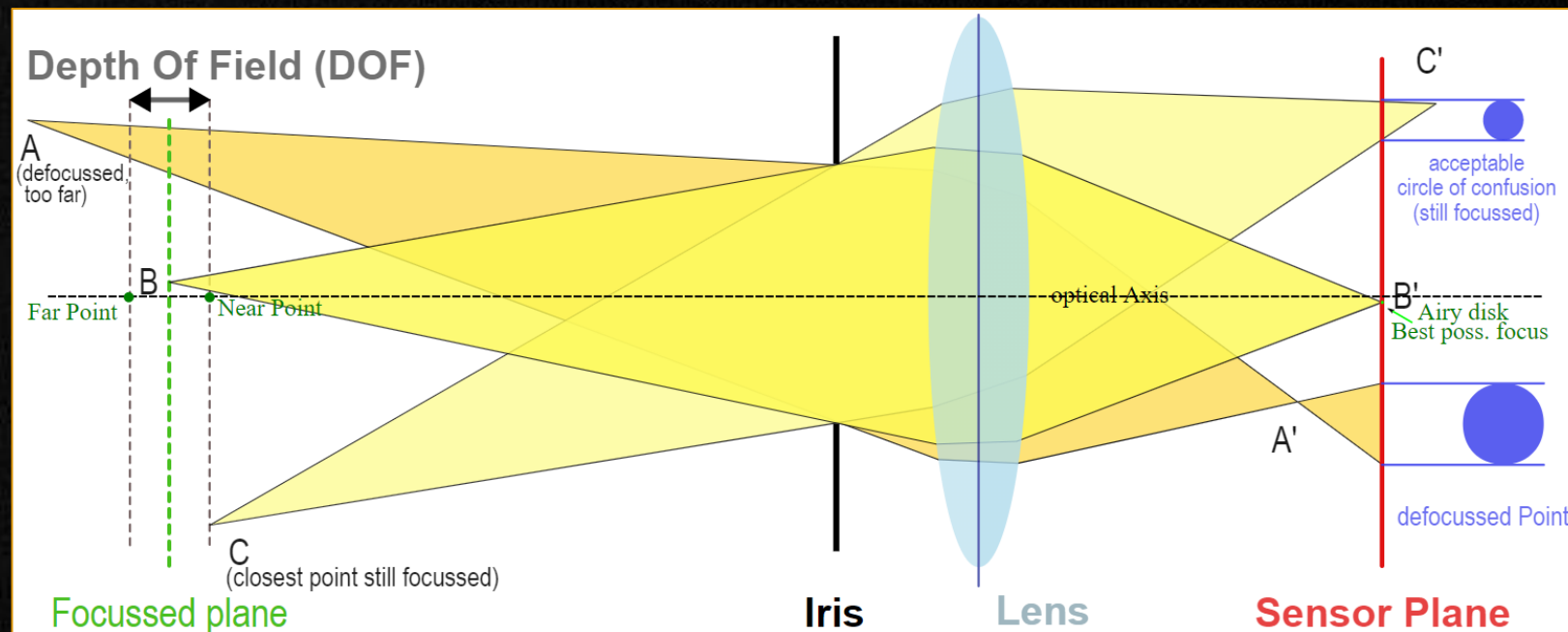
- Da questo deriva che: se un oggetto è posto a distanza \tilde{Z} sull'asse di una lente con lunghezza focale f , su uno schermo posto a distanza \tilde{z} si formerà l'immagine dell'oggetto.



Profondità di campo (Depth Of Field)

10

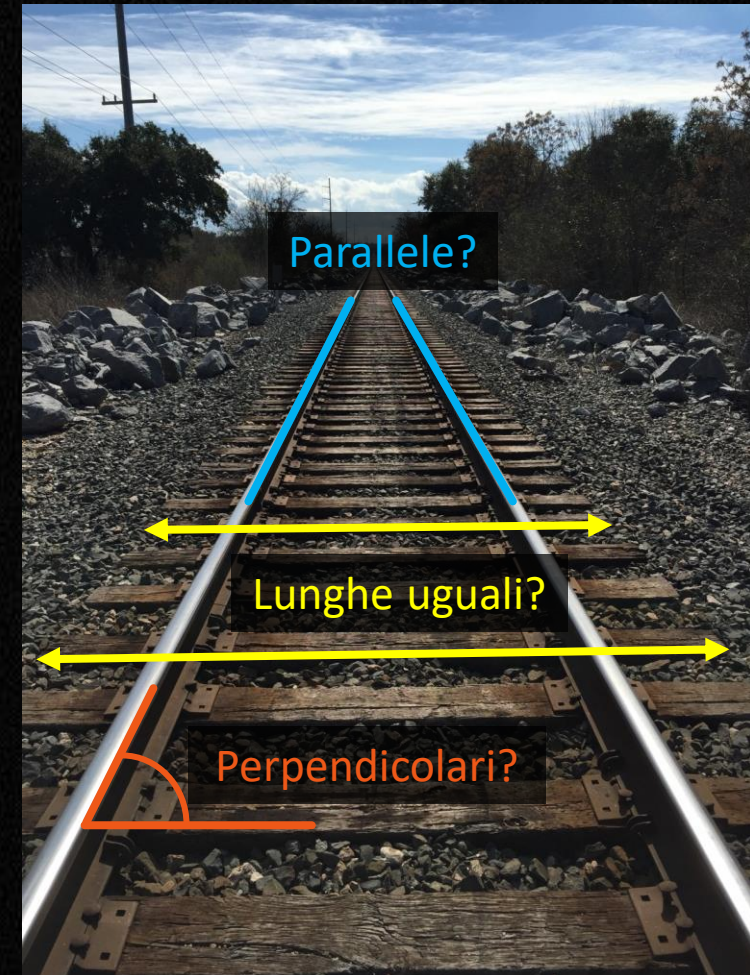
- ▶ Con una lente non tutto è a fuoco
- ▶ Profondità di campo:
 - L'intervallo di distanze considerabili "a fuoco" nell'immagine
 - Minore è l'apertura, maggiore è la profondità di campo



Proiezione di una scena 3D su un'immagine 2D

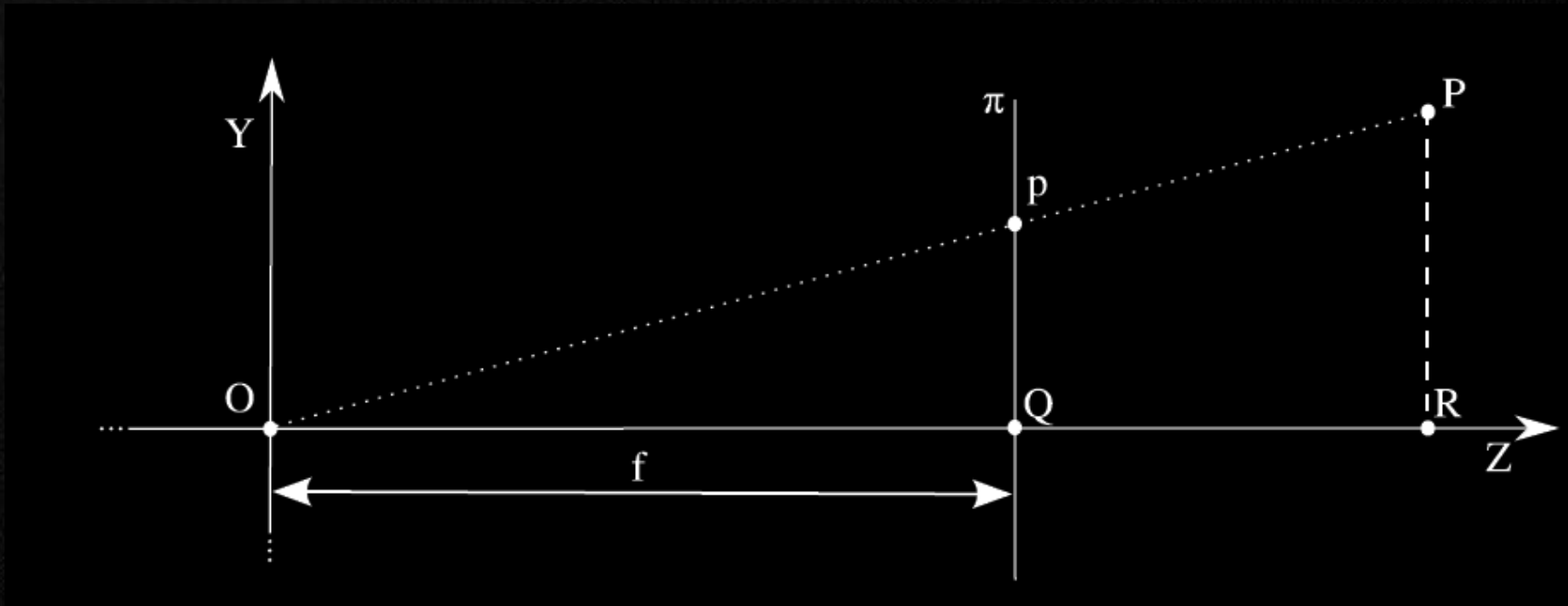
11

- ▶ Qualsiasi sia il sistema di acquisizione (camera oscura, occhio umano, fotocamera con lente sottile), l'immagine si forma attraverso la **proiezione geometrica** di una scena 3D su un piano bidimensionale.
- ▶ Cosa succede in questo tipo di proiezione geometrica?
 - Le dimensioni degli oggetti sono inversamente proporzionali alla distanza
 - Le linee rette rimangono tali
 - Le linee parallele divengono linee convergenti
 - Le lunghezze e gli angoli non sono preservati



Modello semplificato: proiezione prospettica

- ▶ Il sistema di riferimento della camera coincide con quello del mondo 3D:
 - il centro di proiezione o fuoco della camera coincide con l'origine O degli assi,
 - il piano immagine o piano di proiezione π è perpendicolare all'asse Z ,
 - la distanza tra O e π è la lunghezza focale f .
- ▶ La figura mostra il modello in sezione laterale (lungo il piano YZ):



Proiezione prospettica: equazioni fondamentali

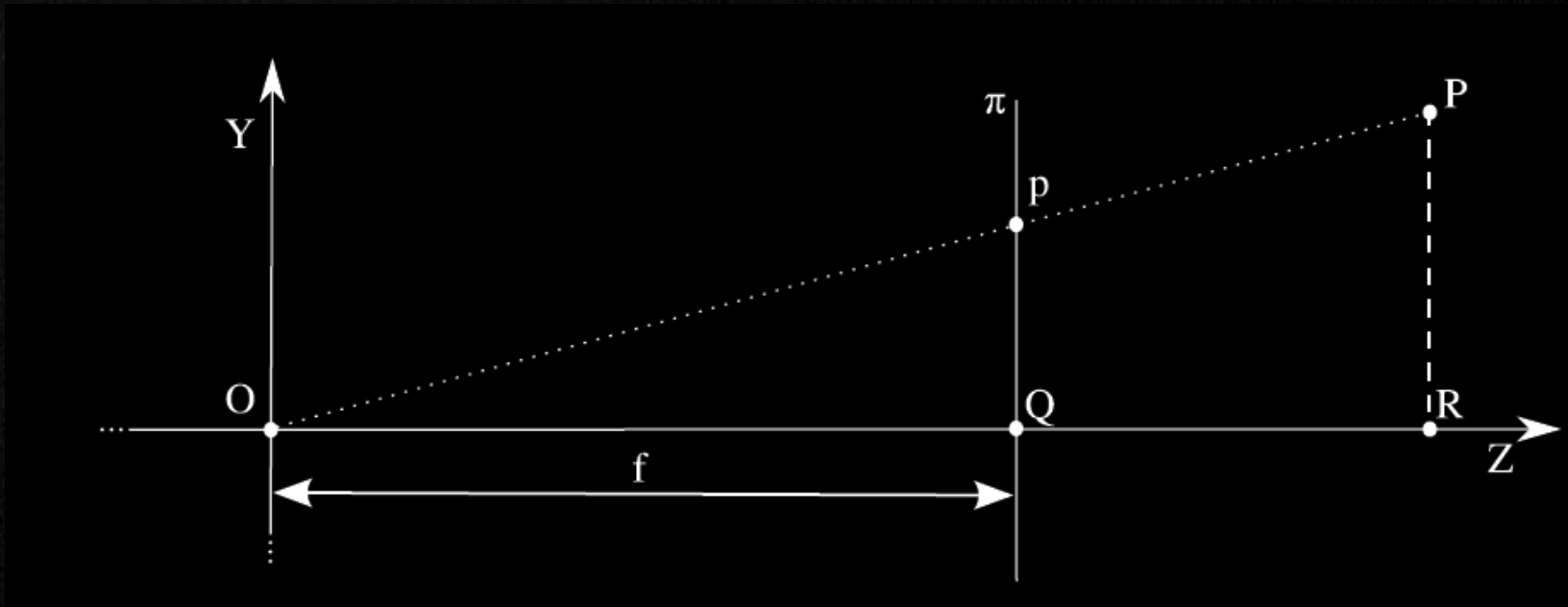
► Quale relazione lega le coordinate 3D di un punto $P = (X, Y, Z)$ nello spazio alle coordinate della sua proiezione $p = (x, y)$ sul piano immagine π ?

- Dato che i triangoli pOQ e POR sono simili, si ha:

$$\overline{pQ} : \overline{PR} = \overline{OQ} : \overline{OR} \Rightarrow y : Y = f : Z$$

- da cui (e procedendo analogamente per x), si ottengono le due equazioni fondamentali:

$$x = f \cdot \frac{X}{Z} \quad y = f \cdot \frac{Y}{Z}$$



Parametri estrinseci

- ▶ Il modello precedente assume che il sistema di riferimento della camera sia lo stesso della scena 3D.
- ▶ Nelle applicazioni pratiche questo di solito non avviene: è necessario trasformare le coordinate della scena 3D in quelle della camera prima di applicare le equazioni del lucido precedente.
- ▶ Sia $P_w = (X_w, Y_w, Z_w)$ un punto nelle coordinate della scena: per trasformarlo nelle coordinate $P_c = (X_c, Y_c, Z_c)$ del sistema di riferimento della camera sono necessari:
 - una matrice di rotazione R (ottenuta a partire da 3 angoli);
 - un vettore di traslazione t (3 componenti).
- ▶ Questi 6 parametri sono chiamati **parametri estrinseci** della camera:
 - Possono essere utilizzati per descrivere il movimento di una camera attorno a una scena statica, oppure il movimento di un oggetto rispetto a una camera ferma.

$$P_c = R \cdot P_w + t$$



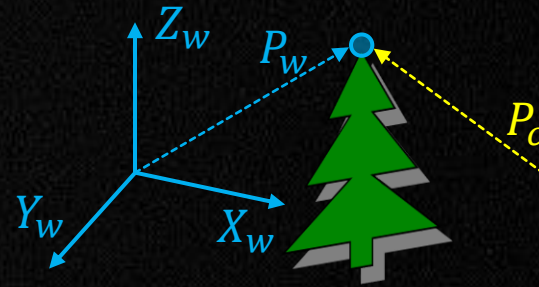
Modello generale: parametri estrinseci

Coordinate 3D "mondo" $P_w = (X_w, Y_w, Z_w)$



$$P_c = R \cdot P_w + t$$

Coordinate 3D "camera" $P_c = (X_c, Y_c, Z_c)$



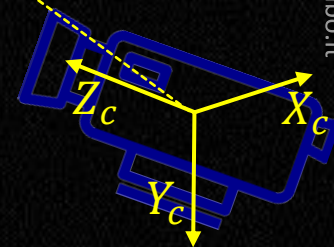
$$\begin{bmatrix} X_c \\ Y_c \\ Z_c \end{bmatrix} = R \begin{bmatrix} X_w \\ Y_w \\ Z_w \end{bmatrix} + t$$

Matrice di rotazione 3D: $R = \begin{bmatrix} r_{11} & r_{12} & r_{13} \\ r_{21} & r_{22} & r_{23} \\ r_{31} & r_{32} & r_{33} \end{bmatrix}$

R ha 9 elementi, ma i gradi di libertà sono 3: può essere descritta, ad esempio con 3 angoli di rotazione (angoli di Eulero).

$$R = R(\phi, \theta, \psi) = R_Z(\phi) \cdot R_Y(\theta) \cdot R_X(\psi) =$$

$$\begin{bmatrix} \cos \phi & -\sin \phi & 0 \\ \sin \phi & \cos \phi & 0 \\ 0 & 0 & 1 \end{bmatrix} \cdot \begin{bmatrix} \cos \theta & 0 & -\sin \theta \\ 0 & 1 & 0 \\ \sin \theta & 0 & \cos \theta \end{bmatrix} \cdot \begin{bmatrix} 1 & 0 & 0 \\ 0 & \cos \psi & -\sin \psi \\ 0 & \sin \psi & \cos \psi \end{bmatrix} =$$



Parametri intrinseci

- ▶ Quando le coordinate sono espresse nel sistema di riferimento della camera, si possono applicare le equazioni fondamentali della proiezione prospettica:

$$x = f \cdot \frac{X_c}{Z_c} \quad y = f \cdot \frac{Y_c}{Z_c}$$

- ▶ Per determinare esattamente la trasformazione dalla scena all'immagine, sono necessari anche altri parametri, specifici della camera:
 - Lunghezza focale f (nelle telecamere è una caratteristica dell'obiettivo);
 - Coordinate del punto principale (c_x, c_y) : non è detto infatti che il centro del piano immagine risieda sull'asse ottico;
 - La relazione tra la dimensione dei pixel e l'unità di misura della scena 3D (s_x, s_y) , in altre parole quanto misura un pixel.
- ▶ Questi parametri, specifici della camera, sono chiamati **parametri intrinseci**.



Modello generale: parametri intrinseci

Coordinate 3D "mondo"

$$P_w = (X_w, Y_w, Z_w)$$



$$P_c = R \cdot P_w + t$$

Coordinate 3D "camera"

$$P_c = (X_c, Y_c, Z_c)$$



$$x = f \cdot X_c / Z_c$$

$$y = f \cdot Y_c / Z_c$$

Coordinate 2D "camera"

$$\mathbf{p}_c = (x, y)$$

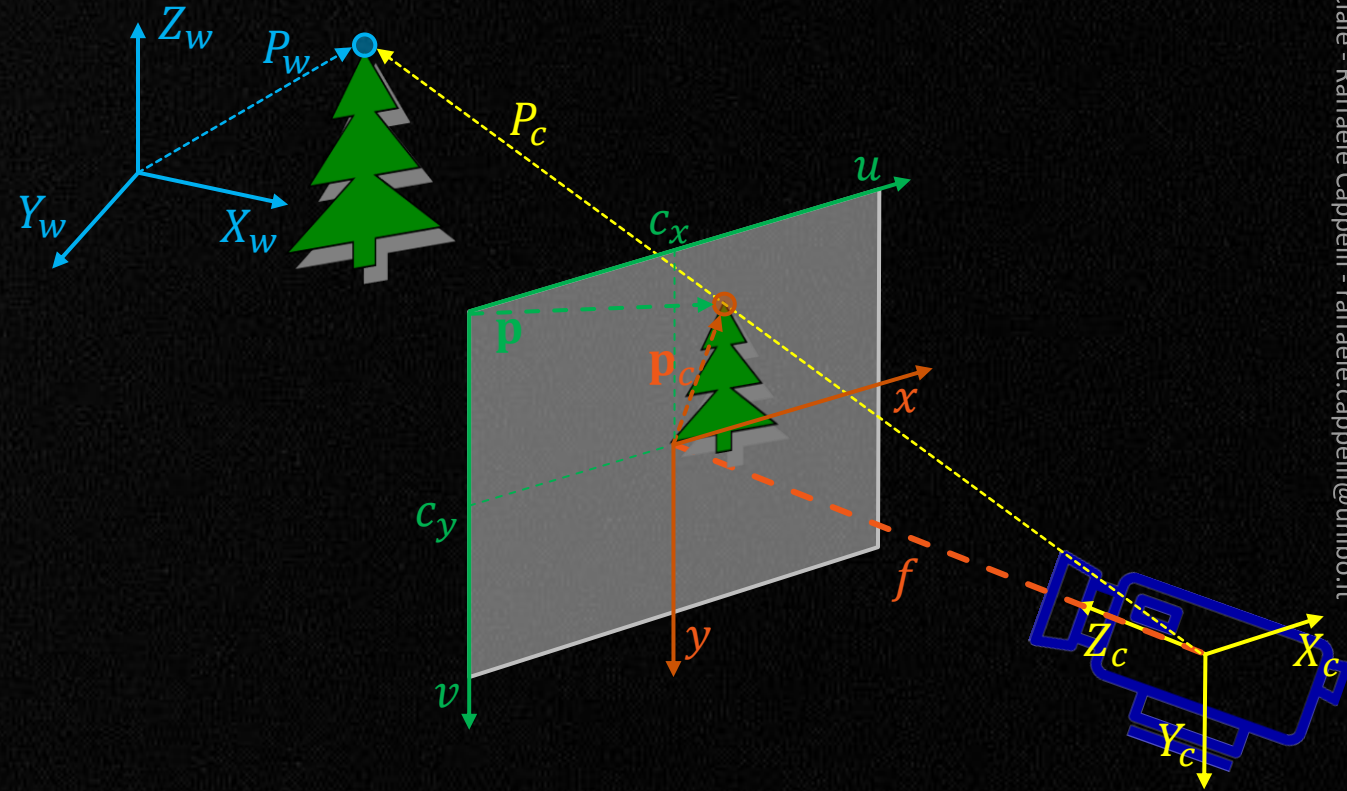


$$u = x / s_x + c_x$$

$$v = y / s_y + c_y$$

Coordinate 2D "immagine"

$$\mathbf{p} = (u, v)$$



Coordinate omogenee e rototraslazione

- In coordinate omogenee, due vettori (punti nello spazio 3D) sono equivalenti se differiscono solo di un fattore di scala:

$$P = (X, Y, Z) \leftrightarrow \tilde{P} = (w \cdot X, w \cdot Y, w \cdot Z, w) = (X, Y, Z, 1), w \neq 0$$

- Rototraslazione da P_w a P_c in coordinate omogenee:

$$P_c = \begin{bmatrix} X_c \\ Y_c \\ Z_c \end{bmatrix} = R \cdot P_w + t = \begin{bmatrix} r_{11} & r_{12} & r_{13} \\ r_{21} & r_{22} & r_{23} \\ r_{31} & r_{32} & r_{33} \end{bmatrix} \cdot \begin{bmatrix} X_w \\ Y_w \\ Z_w \end{bmatrix} + \begin{bmatrix} t_1 \\ t_2 \\ t_3 \end{bmatrix}$$

$$\begin{bmatrix} P_c \\ 1 \end{bmatrix} = \begin{bmatrix} X_c \\ Y_c \\ Z_c \\ 1 \end{bmatrix} = \begin{bmatrix} r_{11} & r_{12} & r_{13} & t_1 \\ r_{21} & r_{22} & r_{23} & t_2 \\ r_{31} & r_{32} & r_{33} & t_3 \\ 0 & 0 & 0 & 1 \end{bmatrix} \cdot \begin{bmatrix} X_w \\ Y_w \\ Z_w \\ 1 \end{bmatrix} = \begin{bmatrix} R & t \\ 0 & 1 \end{bmatrix} \cdot \begin{bmatrix} P_w \\ 1 \end{bmatrix}$$



Coordinate omogenee e proiezione prospettica

19

- Proiezione da $P_c = (X_c, Y_c, Z_c)$ a $\mathbf{p} = (u, v)$ in coordinate omogenee:

$$\mathbf{p} = \begin{bmatrix} u \\ v \end{bmatrix} = \begin{bmatrix} \frac{f}{s_x} \cdot \frac{X_c}{Z_c} + c_x \\ \frac{f}{s_y} \cdot \frac{Y_c}{Z_c} + c_y \end{bmatrix}$$

*N.B. In coordinate omogenee
posso moltiplicare qualsiasi
vettore per un fattore $Z_c \neq 0$*

$$\begin{bmatrix} \mathbf{p} \\ 1 \end{bmatrix} = \begin{bmatrix} u \\ v \\ 1 \end{bmatrix} = \begin{bmatrix} Z_c \cdot u \\ Z_c \cdot v \\ Z_c \end{bmatrix} = \begin{bmatrix} \frac{f}{s_x} & 0 & c_x & 0 \\ 0 & \frac{f}{s_y} & c_y & 0 \\ 0 & 0 & 1 & 0 \end{bmatrix} \cdot \begin{bmatrix} X_c \\ Y_c \\ Z_c \\ 1 \end{bmatrix}$$



Modello generale

Coordinate 3D "mondo"

$$P_w = (X_w, Y_w, Z_w)$$



$$P_c = R \cdot P_w + t$$

Coordinate 3D "camera"

$$P_c = (X_c, Y_c, Z_c)$$



$$x = f \cdot X_c / Z_c$$

$$y = f \cdot Y_c / Z_c$$

Coordinate 2D "camera"

$$\mathbf{p}_c = (x, y)$$

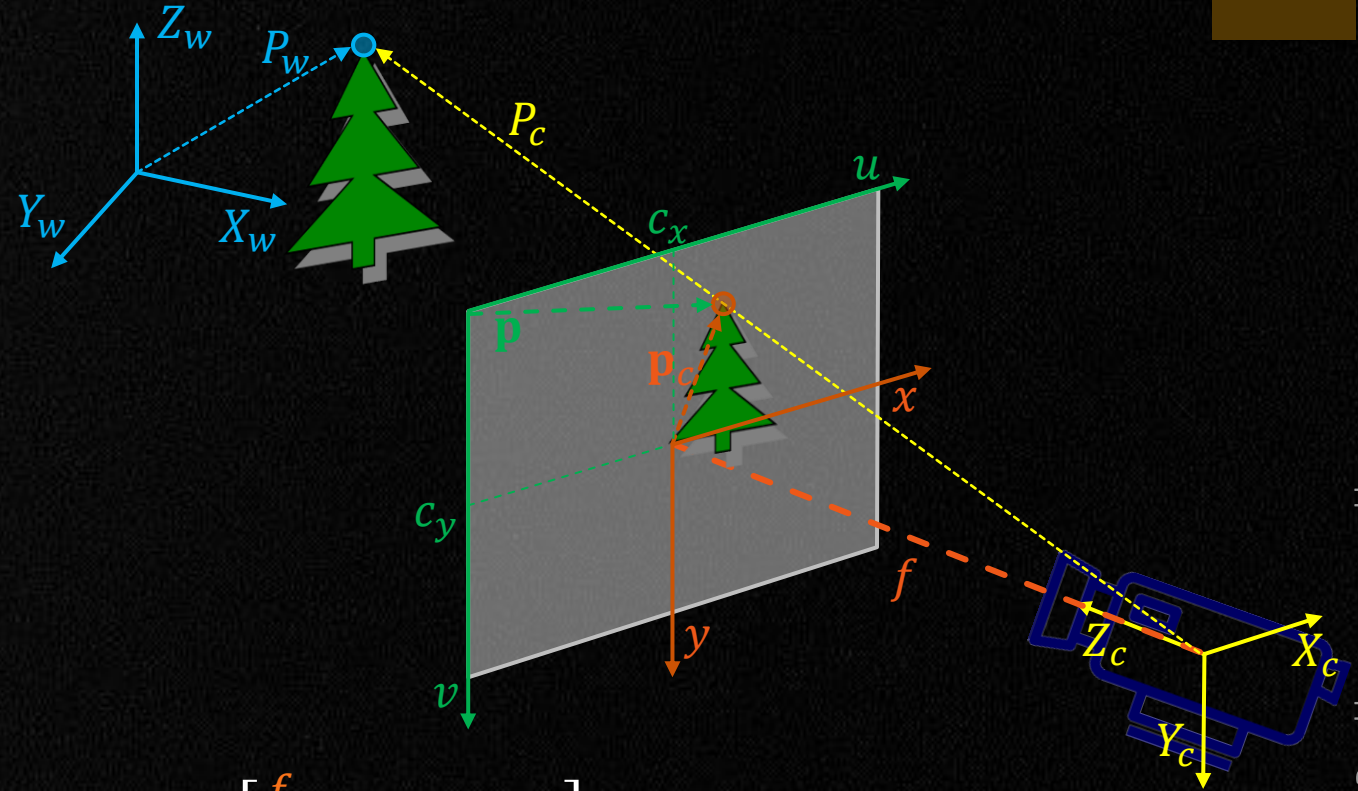


$$u = x / s_x + c_x$$

$$v = y / s_y + c_y$$

Coordinate 2D "immagine"

$$\mathbf{p} = (u, v)$$



$$\begin{bmatrix} u \\ v \\ 1 \end{bmatrix} = \begin{bmatrix} \frac{f}{s_x} & 0 & c_x & 0 \\ 0 & \frac{f}{s_y} & c_y & 0 \\ 0 & 0 & 1 & 0 \end{bmatrix} \cdot \begin{bmatrix} r_{11} & r_{12} & r_{13} & t_1 \\ r_{21} & r_{22} & r_{23} & t_2 \\ r_{31} & r_{32} & r_{33} & t_3 \\ 0 & 0 & 0 & 1 \end{bmatrix} \cdot \begin{bmatrix} X_w \\ Y_w \\ Z_w \\ 1 \end{bmatrix}$$

Parametri
intrinseci

Parametri
estrinseci

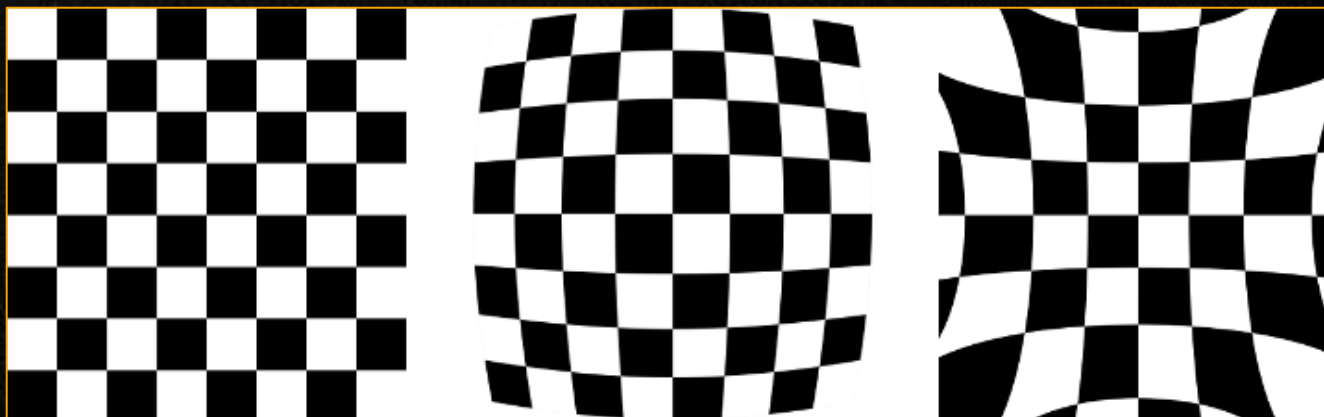
Distorsione radiale

- ▶ Le lenti generalmente causano una certa distorsione nell'immagine, ossia uno spostamento dei punti rispetto a quanto previsto dal modello geometrico teorico.
- ▶ Il tipo più comune di distorsione è quella radiale, che può essere modellata come segue.
 - Date le coordinate (non distorte) $\mathbf{p}_c = (x, y)$, le coordinate effettive (distorte) $\mathbf{p}'_c = (x', y')$ sono:

$$x' = x \cdot (1 + k_1 r^2 + k_2 r^4 + k_3 r^6)$$

$$y' = y \cdot (1 + k_1 r^2 + k_2 r^4 + k_3 r^6)$$

dove $r^2 = x^2 + y^2$



Nessuna distorsione
 $k_1 = k_2 = k_3 = 0$

Distorsione a barilotto
 $k_1 > 0$

Distorsione a cuscinetto
 $k_1 < 0$



Modello completo con distorsione

Coordinate 3D "mondo"

$$P_w = (X_w, Y_w, Z_w)$$



$$P_c = R \cdot P_w + t$$

Coordinate 3D "camera"

$$P_c = (X_c, Y_c, Z_c)$$



$$x = f \cdot X_c / Z_c$$

$$y = f \cdot Y_c / Z_c$$

Coordinate 2D "camera"

$$\mathbf{p}_c = (x, y)$$



$$x' = x \cdot (1 + k_1 r^2 + \dots)$$

$$y' = y \cdot (1 + k_1 r^2 + \dots)$$

Coordinate 2D "distorte"

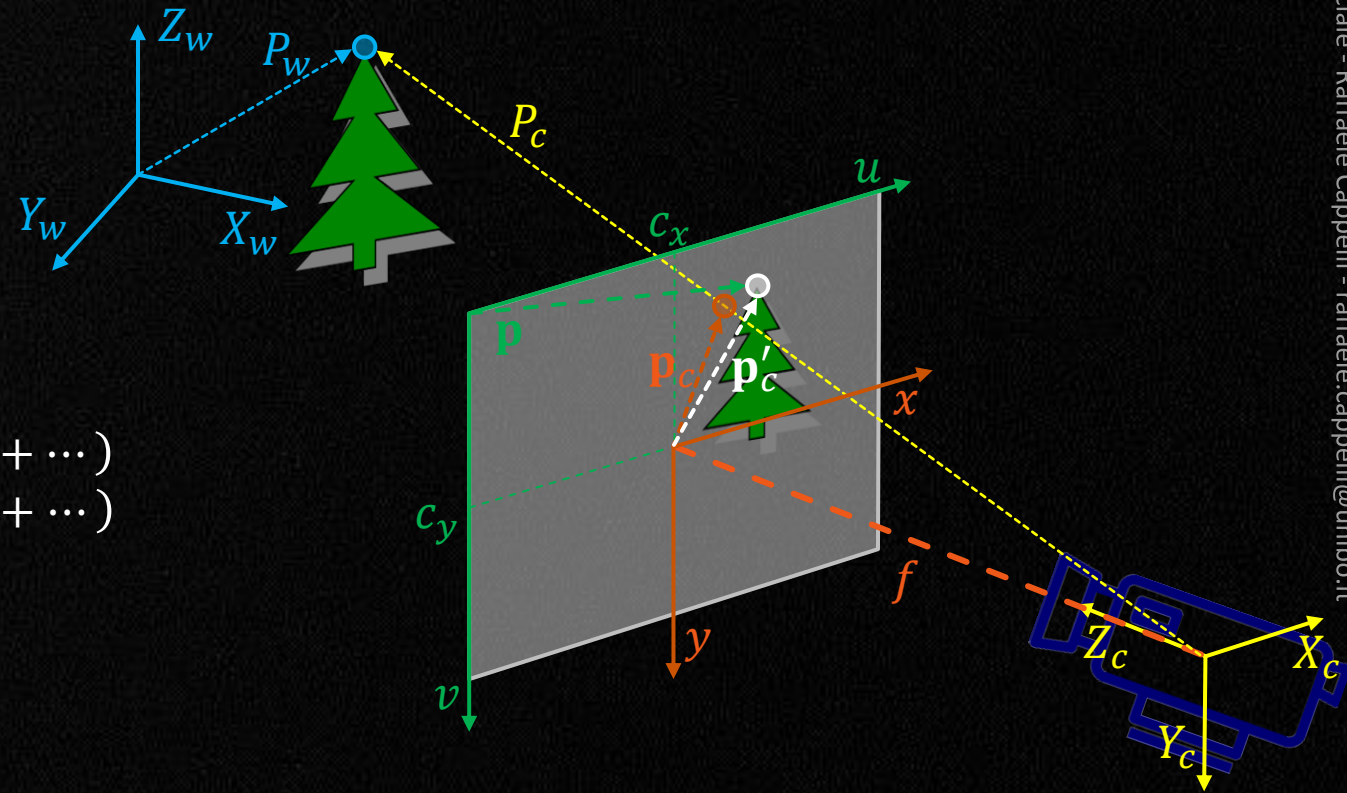
$$\mathbf{p}'_c = (x', y')$$



$$u = x' / s_x + c_x$$

$$v = y' / s_y + c_y$$

Coordinate 2D "immagine" $\mathbf{p} = (u, v)$



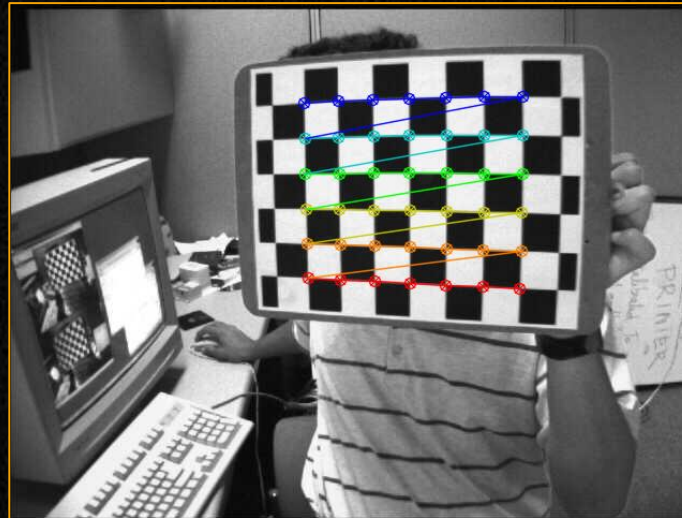
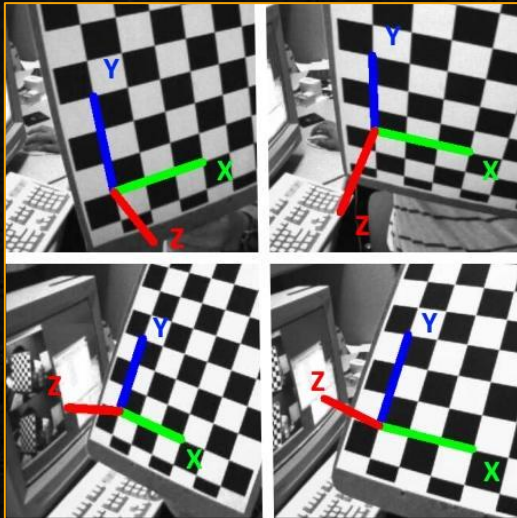
Calibrazione


- ▶ Consiste nel **determinare i parametri estrinseci ed intrinseci** di una camera
- ▶ **Parametri estrinseci**:
 - Matrice di rotazione R
 - Vettore di traslazione t
- ▶ **Parametri intrinseci**:
 - Lunghezza focale f ;
 - Parametri del modello di deformazione: k_1, k_2, k_3, \dots
 - Coordinate del punto principale (c_x, c_y) ;
 - Dimensioni dei pixel (s_x, s_y) ;
- ▶ Disponendo di un numero sufficiente di **corrispondenze** fra punti 3D della scena e punti 2D dell'immagine, è possibile stimare i vari parametri



Ricerca di punti corrispondenti

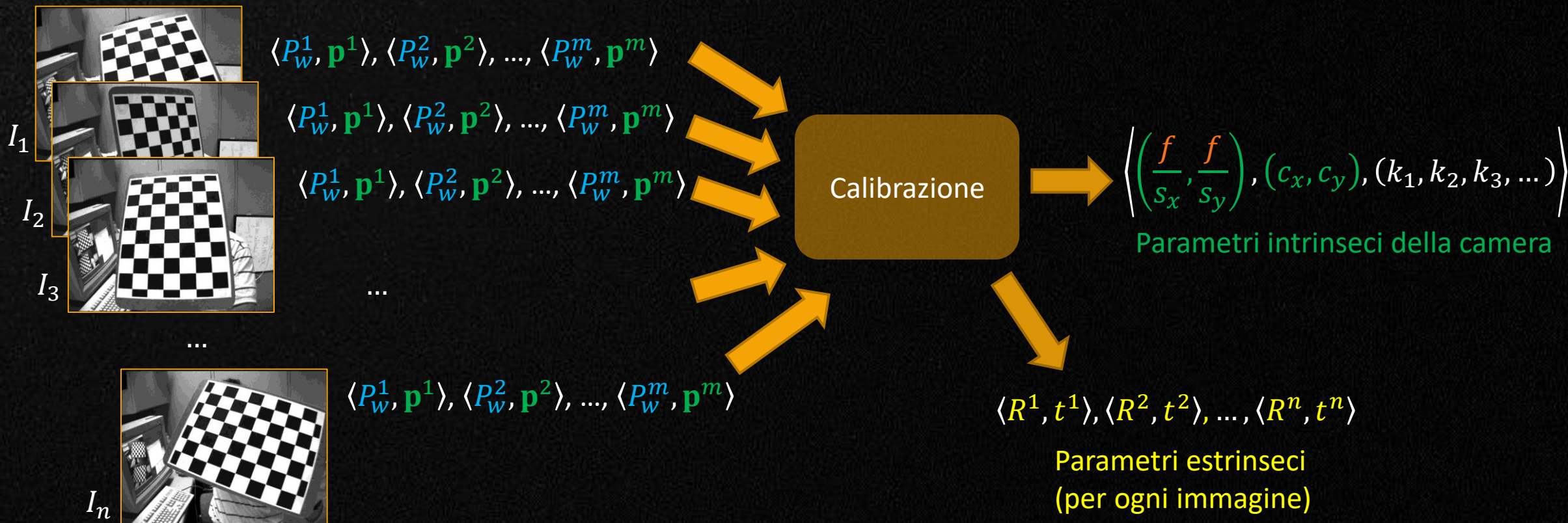
- ▶ Di solito avviene scegliendo un sistema di coordinate 3D per la scena e introducendo un **oggetto rigido di aspetto noto** su cui sia semplice individuare **un insieme di m punti**.
- ▶ Da una serie di n **immagini** con posizioni diverse (dell'oggetto o della camera), si ottengono quindi, per ogni immagine, una serie di corrispondenze $\langle P_w^i, p^i \rangle$ fra coordinate nella scena 3D P_w^i e coordinate 2D p^i .
- ▶ Il pattern più comunemente usato è una **scacchiera**, che consente di individuare facilmente l'insieme di punti corrispondenti ai vertici interni (i punti di contatto fra quattro caselle).




 $\langle P_w^1, p^1 \rangle, \langle P_w^2, p^2 \rangle, \dots, \langle P_w^m, p^m \rangle$

Processo di calibrazione e risultati

25



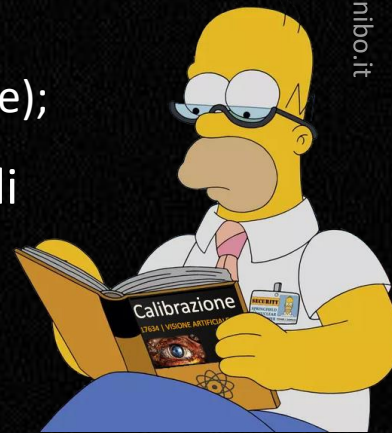
Calibrazione camera in OpenCV

- ▶ OpenCV implementa il modello geometrico introdotto nei lucidi precedenti (pinhole camera model) e offre molte funzionalità, fra cui:
 - Proiezione di punti 3D sull'immagine (conversione da P_w a \mathbf{p}) dati i parametri intrinseci ed estrinseci: `cv.projectPoints()`;
 - Individuazione dei vertici interni di un pattern scacchiera su un'immagine, con possibilità di raffinare la ricerca con precisione sub-pixel e di disegnare i punti trovati: `cv.findChessboardCorners()`, `cv.cornerSubPix()`, `cv.drawChessboardCorners()`;
 - Stima dei parametri intrinseci ed estrinseci da un insieme di corrispondenze $\langle P_w^i, \mathbf{p}^i \rangle$ individuate in una serie di immagini di un pattern di calibrazione: `cv.calibrateCamera()`;
 - Rettifica della deformazione di un'immagine dati i parametri intrinseci della camera: `cv.undistort()`, `cv.getOptimalNewCameraMatrix()`;
 - Funzioni per lavorare con matrici di rotazione 3D: `cv.RQDecomp3x3()`, `cv.Rodrigues()`.



Riepilogo

- ▶ Processo di formazione delle immagini nei sistemi visivi naturali e artificiali:
 - **Camera oscura** e stenoscopia, **immagine reale** (rovesciata) e **virtuale**;
 - Lenti, caratteristiche di una **lente sottile** e sua **equazione fondamentale**, **distorsione radiale**;
 - Proiezione geometrica da scena 3D a immagine 2D: caratteristiche generali.
- ▶ Modello semplificato di **proiezione prospettica**:
 - **Equazioni fondamentali** per convertire coordinate da 3D a 2D.
- ▶ Modello generale:
 - **Parametri estrinseci** (rotazione e traslazione per trasformare le coordinate nel sistema di riferimento della camera);
 - **Parametri intrinseci** (lunghezza focale, coordinate del punto principale, misure del pixel, distorsione);
- ▶ **Calibrazione** a partire da corrispondenze punti 3D e 2D su una serie di viste di un pattern di calibrazione noto.



Per approfondire

28

- ▶ Nel libro [Szeliski, Computer Vision: Algorithms and Applications, 2022]:
 - Sezione 2.1: Geometric primitives and transformations
 - Sezione 2.2: Photometric image formation
 - Sezione 11.1: Geometric intrinsic calibration
- ▶ Documentazione OpenCV del modulo «Camera Calibration and 3D Reconstruction»:
 - https://docs.opencv.org/master/d9/d0c/group__calib3d.html

